

## 麻酔犬の心筋収縮能と伸展性の実験的研究

静岡赤十字病院生理機能検査室

金原比良男 桜井 孝子

### I はじめに

心臓を筋塊からなる pump 室という概念に基づき、心筋収縮能 myocardial contractility と心筋伸展性 myocardial distensibility を主眼点におき、normoxia normocarbia 状態の麻酔犬を異なった 2 種類の load state、すなわち hypoxic gas による急性低酸素負荷と物理的な volume load、すなわち容量による圧負荷の双方により生ずる循環動態を諸家の比較的報告例の少ない右心系にとらえ、静脈帰来という仕事量の関与は、心臓の機械的な pump 作用を反映する心拍出量（以下、CO と略す）が parameter であることより、前記の異なった 2 種類の負荷による浸襲下のそれぞれの応答特性と動脈血ガス動態の推移に若干の知見を得た過去 2 回にわたる実験と、その後の追試実験結果を総括し報告する。

### II 実験対象及び実験方法

1) 体重 17 kg から 20 kg の雑種成犬 12 頭を用い、呼吸制御の反射作用を受けないために、pentobarbital sodium (25 mg/kg から 30 mg/kg) 静注麻酔後、仰臥位に固定し気管内に挿管を施し、room air の volume type respirator (TV. 90 ml から 120 ml : Rn. 9 回から 12 回) による呼吸管理下で、左内頸静脈より、Swan-Ganz catheter 5 F の先端を肺動脈（以下、PA と略す）に挿入し多用途監視記録装置により、

ECG PA (mean) 圧及び右室（以下、RV と略す）心内圧を監察記録し、あらかじめ右股動脈に挿入固定留置した catheter より採血し動脈血ガス分析も同時に実施し、対照時の parameter とした。

2) 実験対象の雑種成犬 12 頭のうち、急性低酸素負荷の実験をでき得たのは 10 頭、更に、容量による圧負荷の双方の実験をでき得たのは 6 頭であった。このような実験結果に至った原因是、急性低酸素負荷により発來したと思われる多源性心室性期外収縮 (multifocal ventricular premature beat) から心室細動 (ventricular fibrillation) に移行し、cardiac arrest を招來した 2 頭を含め、recovery の失敗が 6 頭であった。

recovery の方法は、room air を 5 分から 7 分程度吸入させた後の PaO<sub>2</sub> と PA(mean) 圧、RV 圧をそれぞれ測定し、recovery を確認し実験を実施した。

3) 急性低酸素状態への誘導は、catheter を RV に留置確認後、O<sub>2</sub> 9.96 % 含有の N<sub>2</sub> 混合ガスを、前記の volume type respirator により、3 分から 7 分程度吸入させた後、まず RV 圧を測定し、続いて CO と動脈血ガス分析を実施した。

4) 容量による圧負荷は、catheter を介して RV に低分子 dextran 糖液を初回 100 ml 注入（この時点では RV 圧と CO のみを測定）し、約 20 分後更に、200 ml、合計 300 ml を注入後、RV 圧と同時に CO 及び動脈血ガスを測定した。

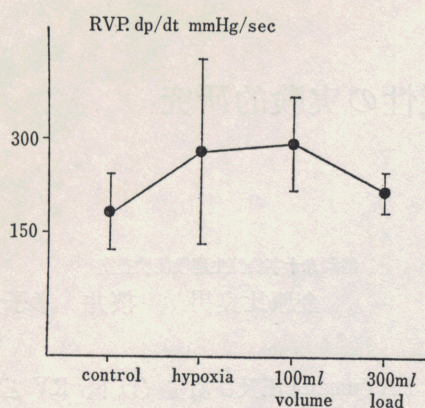


図 1 右室心内圧曲線

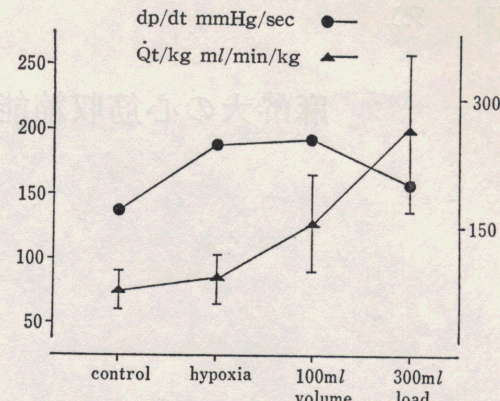


図 2 右室心内圧曲線と心拍出量との相関

5) CO 測定には、indocyanin green sodium ( $5 \text{ mg}/\text{mL}$ )  $2 \text{ mL}$  を catheter を介して PA に急速注入し、前記股動脈に留置した catheter より suction pump により定速 ( $19.7 \text{ mL}/\text{min}$ ) 採血して、dyedensitography cuvette densitometer で測定した。

なお、CO 測定に際しては、吸気位で実施するように留意した。この理由は周知のよう、呼気位には気管内加圧により胸腔内圧が上昇するので、心臓への静脈還流が減少し相対的に CO が減少するが、吸気時には静脈帰来の増加、すなわち RV の CO が増大する theory からである。

### III 実験結果

#### 1 RV 圧に及ぼす低酸素負荷と容量による圧負荷の実験結果

RV 圧は、心筋張力の変化速度を微分値  $\frac{dp}{dt} \text{ mmHg/sec}$  で検討した。control experiment の平均値は、 $160 \text{ mmHg/sec}$  であった。

低酸素負荷においては、 $273.4 \text{ mmHg/sec}$  の数値となり上昇率では、 $41.5\%$  を示し、心筋収縮能が有意に認められた。 $100 \text{ mL}$  容量による圧負荷では、 $283.0 \text{ mmHg/sec}$  上昇率にして  $43.4\%$  と更に明確に心筋収縮率が認められたが、図 1 に示すように、全量  $300 \text{ mL}$  容量による圧負荷では、 $220.3 \text{ mmHg/sec}$  心筋収縮率

では、 $27.4\%$  であり、その上昇率の傾向は前 2 方法の負荷時よりも反応特性は緩慢であることを示唆している。

図 2 は、 $\frac{dp}{dt} \text{ mmHg/sec}$  (心筋収縮能) と CO とを対比した図表である。前記したように、2 種類の負荷方法が CO に及ぼす表示法を  $\dot{Q}_t/\text{kg}$  の単位 level で平均値と標準偏差値を求め実験結果を報告する。

$\dot{Q}_t/\text{kg}$  の control experiment の平均値は、 $70.6 \text{ mL}/\text{min}/\text{kg}$  であった。

低酸素負荷では  $88.1 \text{ mL}/\text{min}/\text{kg}$ 、上昇率では  $19.9\%$  であった。

$100 \text{ mL}$  容量による圧負荷では、 $137.8 \text{ mL}/\text{min}/\text{kg}$ 、 $48.8\%$  と低酸素負荷より増加の傾向を示しているが、 $300 \text{ mL}$  容量による圧負荷では実際に  $202.3 \text{ mL}/\text{min}/\text{kg}$ 、 $65.1\%$  と著明に、しかも明確な上昇率の発来を認め、図 2 にみるよう急峻的な上昇線が描記された実験結果から  $\dot{Q}_t/\text{kg}$  は、容量による圧負荷が低酸素負荷に比して、より鋭敏に顕著な応答特性を明示する事実を確認できた。

#### 2 低酸素負荷と容量による圧負荷が右心容量と右室拡張終末期圧に及ぼす実験結果

右心容量（以下、V と略す）と右室拡張終末期圧（以下、RVEDP と略す）との比率より、心筋伸展性（以下、V/RVEDP と略す）を検討した。

control experiment の平均値は、 $17.4 \text{ mL}/$

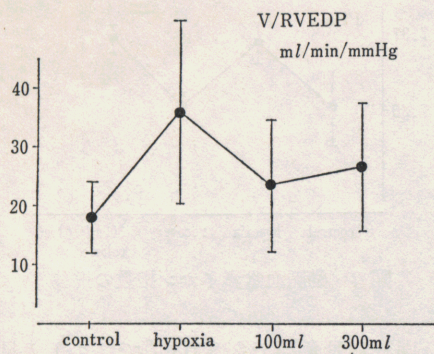


図 3 右心容量と右室拡張終末期圧の比率

min/mmHg であった。

まず、低酸素負荷では、 $36.1 \text{ ml/min/mmHg}$ 、その上昇率では $51.7\%$ と図3にみるよう著明な心筋伸展性の増大を示している。

次に、 $100 \text{ ml}$ 容量による圧負荷では $22.8 \text{ ml/min/mmHg}$ 、心筋伸展率では $23.6\%$ 、 $300 \text{ ml}$ 容量による圧負荷時では $26.1 \text{ ml/min/mmHg}$ 、 $33.2\%$ の上昇率にとどまった実験結果から、V/RVEDP の比率における容量による圧負荷は緩慢な応答であり、低酸素負荷の影響がより心筋伸展性に鋭敏な応答を示す傾向が明確にうかがわれた。図4は、この心筋伸展性と  $\dot{Q}_t/\text{kg}$  の相関を示した図表である。

### 3 低酸素負荷と容量による圧負荷が動脈血酸素分圧に及ぼす実験結果

動脈血酸素分圧(以下、 $\text{PaO}_2$  と略す)の control experiment の平均値は、図5に示すように $74.7 \text{ mmHg}$  であった。低酸素負荷により当然のことながら全例に著明な変動が招来された。本実験のように、acute state のしかも直接低酸素にさらされた状態では、hypoxic drive の効果は顕著で  $\text{PaO}_2$  は、 $33.0 \text{ mmHg}$  で control experiment の数値に対する比率の平均低下率は、 $55.8\%$  と著明な減少を認められ有効な低酸素状態に誘導でき得た。

前記した recovery の方法による  $\text{PaO}_2$  の平均値は、 $73.0 \text{ mmHg}$  であり、control experiment の数値に比して、極めて僅少な平均変化率 $2.3\%$ にとどまり、ほとんど満足すべき

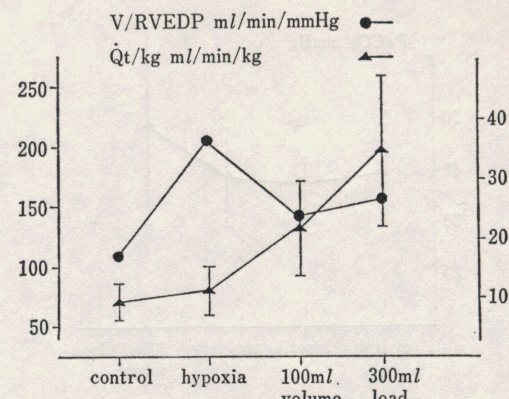


図 4 右心容量の右室拡張終末期圧の比率に対する心拍出量との相関

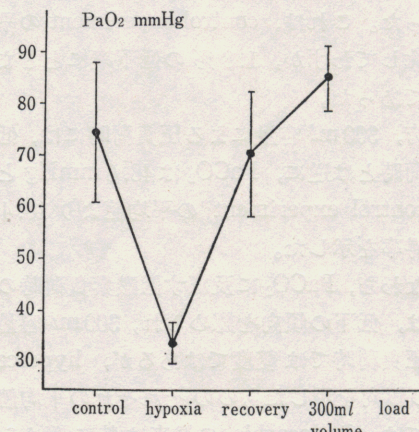


図 5 動脈血酸素分圧の推移

recovery の成功とみなした。

次に、recovery 後の  $\text{PaO}_2$  に及ぼす  $300 \text{ ml}$  容量による圧負荷においては、 $\text{PaO}_2$  の平均値は $78.3 \text{ mmHg}$  であり、 $4.6\%$ の上昇率であることからして、有意な応答値としては認められない実験結果であった。

### 4 低酸素負荷と容量による圧負荷が動脈血炭酸ガス分圧に及ぼす実験結果

動脈血炭酸ガス分圧(以下、 $\text{PaCO}_2$  と略す)の control experiment の平均値は、 $39.7 \text{ mmHg}$  であった。

前記した実験方法による低酸素負荷に誘導すべき用いたガスは、 $\text{CO}_2$  を全く含有していない

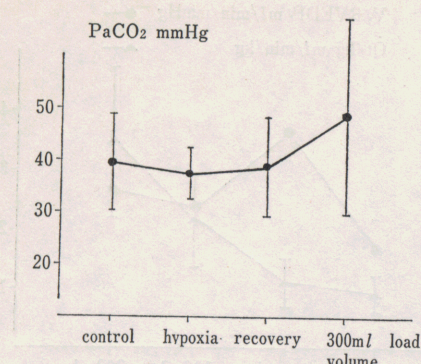


図 6 動脈血炭酸ガス分圧の推移

ガス吸入下での実験であるので、低酸素負荷時においての  $\text{PaCO}_2$  の平均値は、38.9 mmHg であった。これは、control experiment の平均値に比してわずか、1.8% の低下率にとどまる数値であった。

一方、300 ml 容量による圧負荷時には、低酸素負荷時とは逆に、 $\text{PaCO}_2$  は 48.6 mmHg となり、control experiment の平均値より 18.4% の上昇率を示した。

すなわち、 $\text{PaCO}_2$  に及ぼす低酸素負荷時の平均値は、低下の傾向を認められ、300 ml 容量による圧負荷時では軽度ではあるが、hypercarbia の傾向を示したものとのぞの平均値においては、hypocarbia の発来は特に認められず、双方の負荷に対する応答の推移は、図 6 に示すように、有意な変動をうかがわれない実験結果に終わった。

##### 5 低酸素負荷と容量による圧負荷が動脈血水素イオン指數に及ぼす実験結果

動脈血水素イオン指數（以下、 $\text{PHa}$  と略す）においては、低酸素負荷、300 ml 容量による圧負荷時ともに平均値の変動は乏しく、図 7 に示すように、0.1% 程度の上昇率を認められるにとどまった実験結果であった。

#### IV 考 察

$\text{dp}/\text{dt}$  mmHg/sec は、低酸素負荷よりも 100 ml 容量負荷時が数値的にもっとも昇圧を示し

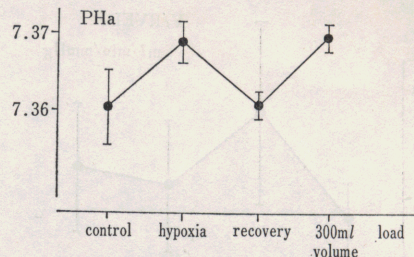


図 7 動脈血水素イオン指數の推移

た。同じ容量負荷でも 300 ml ではむしろ降圧の推移となった実験結果に基づき、この現象よりただ単に、容量負荷は、低酸素負荷時よりも Anep 効果を高める応答特性を severe に反映することを否定でき得る。ただし、100 ml 容量負荷時が、心筋収縮能に主役的な寄与をもたらし、容量負荷への対応追従可能の幅、working point の threshold を洞察される。すなわち、容量過負荷の関与は肥大心を発来し、心臓の代償調節機構不全が招来され心不全に容易に陥り推移が十分考慮されるところであり、Anep 効果の限界点を今一度勘考される。

$\text{Qt}/\text{kg}$  においては、我々の実験方法での平均値では、300 ml 容量負荷が peak であった。これは、心臓の pump 能力は、心機能のうち preload 静脈帰来に対する対外拍出量すなわち、pump への入力に対応した出力特性であると着目した。事実、本実験のように RV への容量負荷が加えられたときには、心臓の流量 pump としての機能からして心機能全体が RV 機能に依存される推測がなされる。

この種の実験例における文献は余りみあたらないが、Brooks, Guyton らにより、前記したような容量負荷時には、心機能は RV 機能への依存率が高まるいわゆる RV 機能依存説の報告がなされている。我々の実験結果と Brooks, Guyton らの文献的報告からして、RV は通常容量 pump とみなされ、圧 pump の特性をもった左室 (LV) とは対照をなしている考察がなされる。

V/RVEDP は、我々の実験結果では容量負荷の影響よりもむしろ、低酸素負荷により鋭敏な

応答が認められた。この現象は、右心系が直接低酸素に刺激される昇圧発生機序すなわち、PA 圧及び肺血管抵抗の増大により肺血流量とともに増加する推察がなされる。

Starling は、心機能の圧発生を特に、RV への preload 静脈帰来と CO( $\dot{Q}_t/\text{kg}$ ) にある理由づけとして、RVEDP による調節機構である Starling 効果を heterometric autoregulation とよび心機能の圧発生能力には限界があり、その限界に近い点、working point での仕事量を CO と RV 圧との積として心臓の流量 pump としてその機能を求めていた。

以上の推察と我々の実験結果、そして Starling 効果からして、RV 容量負荷時の心筋伸展性の予備能力に関しては RV の心筋収縮性の低下時には、この現象に対する代償機転を考慮されるところで、あらためて物理的負荷である要因よりもむしろ、急性低酸素負荷がより心臓の機械的 pump 作用に大きな影響をもたらし、RV の CO を増大させるものと勘考される。

$\text{PaO}_2$  は、実験結果で既に記載したように、control experiment の平均値に対して、低酸素負荷時には、図 5 に示すように顕著な平均低下率を認めた。心機能が抑制されるほど、きびしくない範囲での低酸素下では、 $\text{PaO}_2$  低下は自から限度と個体差は当然考慮されるべきであると思われるが、ごく短時間のうちに first reaction として、RV 機能、PA 系にも強く影響を与える、high CO ( $\dot{Q}_t/\text{kg}$ ) をもたらす主役的動態を推察したが、実際には既に報告した我々の実験結果より、低酸素負荷時による Anep 効果(心筋収縮性)の関与よりも、preload 静脈帰来に始まる RV 機能が、primary に Starling 効果(心筋伸展性)の影響をより強く受け鋭敏な応答として、high CO を認められたのは、図 3 又は図 4 に示すように、300 ml/ 容量負荷時であった。この結果より  $\text{PaO}_2$  の推移と CO に限定しての相関を勘考するならば、低酸素負荷時より容量による圧負荷時のほうが、心筋活動状態の機能低下を制御するといいう一過程が推察される。この動態は、体組織への酸素供給を満すべき

く相対能力の存在を意味する合目的の生理機能であると考察される。

$\text{PaCO}_2$ 、PHa、acid-base balance：1961 年 Nielsen と Smith は、低酸素刺激が存在するときは、 $\text{CO}_2$  に対する換気の応答が増強することを発表した。これは低酸素刺激と  $\text{CO}_2$  刺激が共存するときは、おののが単独に存在するときよりも強い換気の亢進が招来されることを意味する。

我々の実験のように、volume control の呼吸管理下では、hypercarbia、hypocarbia の発来ではなく、hypoxia、hypercarbia そして acidosis の 3 者が共存するいわゆるきびしい相乗作用は必ずしも出現せず、これらの諸要因は、high CO を招来する直接的な factor とはならないことをうかがえた。

以上、我々の実験結果からみる限り、酸-塩基諸量の乏しい推移により、特に acidosis と hypercarbia の両者は、心 pump 機能阻害への主役的な影響は及ぼさないことを考察される。

## V まとめ

今回我々は、心機能を知る目的で諸家の比較的報告例の少ない右心機能に主眼点をおき、雑種成犬を用い、低酸素負荷及び容量による圧負荷に対する心臓の反応性について、Anep 効果心筋収縮性、Starling 効果心筋伸展性及び動脈血ガス動態、酸-塩基諸量に若干の検討を加え報告した。

(本論文の要旨は、第Ⅱ回日本赤十字臨床衛生検査技師会(於：盛岡)に発表し、静岡赤十字病院研究報 Vol. 2, No. 1, 1982 に報告した。)

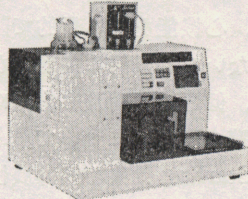
## 参考文献

- 1) 金原比良男、桜井孝子：衛生検査, 27: 6, 1978
- 2) 金原比良男、桜井孝子：同上, 27: 11, 1978
- 3) 小杉 功ほか：臨床生理, 2: 167, 1974
- 4) 江川南翔ほか：同上, 4: 379, 1972
- 5) 須磨幸蔵、辻 隆之：呼吸と循環, 6: 529~531, 1975
- 6) 鈴木重光：臨床生理, 1: 64~75, 1977

- 7) 田苗英次, 龍田憲和: 呼吸と循環, 10: 885~889, 1976  
 8) 小山富康: 臨床生理, 2: 120~121, 1973  
 9) 吉良枝郎: 同上, 2: 137~138, 1973

- 10) 本田良行: 呼吸と循環, 2: 146, 1975  
 11) 門間和夫, 中沢 誠: 同上, 7: 645~650, 1973  
 12) 菅 弘之: 同上, 9: 645~650, 1974

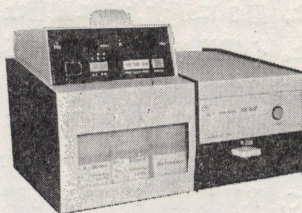
3項目全自動同時連続測定(Na・K・Cl)  
 50 $\mu$ lのサンプル量  
 全自動電解質分析装置 Na-K-Cl アナライザ IT-3



- サンプル量はわずか50 $\mu$ lです。
- イオン電極法Na・K、電量滴定法Cl $\ell$ の組合せ方式です。
- 自動校正機能で正確度、高い精度を保証します。
- 24時間いつでも測定でき、緊急検体処理もきわめて簡単です。
- 速い測定時間で検査業務の効率化を可能にしました。
- 防害物等の影響は少なく、高い信頼性のあるデータが得られます。
- 従来の測定データとの相関を補正する機能もあります。
- t型コンピュータとの接続が可能です。

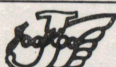
定価 530万円

電極方式……操作は全くワンタッチOK  
**Na・Kアナライザ NK 60P**



- 全血も測定可能(測定対象 全血、血清、血漿、尿)です。
- 操作は全くワンタッチです。
- オートセット機能です。
- 自動チェック機能です。(30分ごとに自動的に2点校正を行ないます。)
- 使用回数の表示。(使用回数カウント内蔵です。)
- いつでもどこでも測定可能です。(火気の使用できない手術場の測定は最適です。)
- 保守が簡単です。

定価 220万円(オートサンプラ付) 170万円(サンプラなし)



愛とまごころの  
**株式会社 常光**

本社 〒113 東京都文京区本郷3-19-4 常光ビル

電話03(815)1717(代表) TELEX 272-2685 J

東京営業所	03(815)1717代	仙台営業所	0222(96)0972	函館営業所	0138(23)6737	連絡所	弘前・新潟・郡山
大阪支店	06(353)2441	札幌支店	011(731)1311	北見営業所	0157(24)9534		岡山・盛岡・鹿児島・金沢
名古屋支店	052(251)3878	帯広営業所	0155(24)3057	室蘭営業所	0143(55)3037		
福岡支店	092(281)5757	旭川営業所	0166(61)1381	東京技研	044(811)9211		
広島支店	0822(41)3252	釧路営業所	0154(23)3495	研究所			